

高性能コンピューティング特論 講義メモ(10)

「並列数値計算アルゴリズム」

高橋大介

daisuke@cs.tsukuba.ac.jp

筑波大学大学院システム情報工学研究科
計算科学研究センター

2011/2/23

高性能コンピューティング特論

1

講義内容

- 高速フーリエ変換 (Fast Fourier Transform, FFT)
- Cooley-Tukey FFTおよび並列化
- Six-Step FFTおよび並列化
- Nine-Step FFTおよびブロック化, 並列化

2011/2/23

高性能コンピューティング特論

2

高速フーリエ変換 (FFT)

- 高速フーリエ変換 (FFT) は, 離散フーリエ変換 (DFT) を高速に計算するアルゴリズム.
- 理学分野での応用例
 - 偏微分方程式の解法
 - 畳み込み, 相関の計算
 - 第一原理計算における密度汎関数法
- 工学分野での応用例
 - スペクトラムアナライザ
 - CTスキャナ・MRIなどの画像処理
 - 地上波デジタルテレビ放送や無線LANで用いられている OFDM (直交周波数多重変調) では, 変復調処理にFFTを用いている.

2011/2/23

高性能コンピューティング特論

3

離散フーリエ変換 (DFT)

- 離散フーリエ変換 (DFT) の定義

$$y(k) = \sum_{j=0}^{n-1} x(j) \omega_n^{jk}$$

$$0 \leq k \leq n-1, \quad \omega_n = e^{-2\pi i/n}$$

2011/2/23

高性能コンピューティング特論

4

行列によるDFTの定式化(1/4)

- $n = 4$ のとき, DFTは以下のように計算できる.

$$y(0) = x(0)\omega^0 + x(1)\omega^0 + x(2)\omega^0 + x(3)\omega^0$$

$$y(1) = x(0)\omega^0 + x(1)\omega^1 + x(2)\omega^2 + x(3)\omega^3$$

$$y(2) = x(0)\omega^0 + x(1)\omega^2 + x(2)\omega^4 + x(3)\omega^6$$

$$y(3) = x(0)\omega^0 + x(1)\omega^3 + x(2)\omega^6 + x(3)\omega^9$$

行列によるDFTの定式化(2/4)

- 行列を用いると, より簡単に表すことができる.

$$\begin{bmatrix} y(0) \\ y(1) \\ y(2) \\ y(3) \end{bmatrix} = \begin{bmatrix} \omega^0 & \omega^0 & \omega^0 & \omega^0 \\ \omega^0 & \omega^1 & \omega^2 & \omega^3 \\ \omega^0 & \omega^2 & \omega^4 & \omega^6 \\ \omega^0 & \omega^3 & \omega^6 & \omega^9 \end{bmatrix} \begin{bmatrix} x(0) \\ x(1) \\ x(2) \\ x(3) \end{bmatrix}$$

- n^2 回の複素数の乗算と, $n(n-1)$ 回の複素数の加算が必要.

行列によるDFTの定式化(3/4)

- $\omega_n^{jk} = \omega_n^{jk \bmod n}$ の関係を用いると, 以下のよう
に書き直すことができる.

$$\begin{bmatrix} y(0) \\ y(1) \\ y(2) \\ y(3) \end{bmatrix} = \begin{bmatrix} 1 & 1 & 1 & 1 \\ 1 & \omega^1 & \omega^2 & \omega^3 \\ 1 & \omega^2 & \omega^0 & \omega^2 \\ 1 & \omega^3 & \omega^2 & \omega^1 \end{bmatrix} \begin{bmatrix} x(0) \\ x(1) \\ x(2) \\ x(3) \end{bmatrix}$$

行列によるDFTの定式化(4/4)

- 行列の分解により, 乗算回数を減らすことができる.

$$\begin{bmatrix} y(0) \\ y(1) \\ y(2) \\ y(3) \end{bmatrix} = \begin{bmatrix} 1 & \omega^0 & 0 & 0 \\ 1 & \omega^2 & 0 & 0 \\ 0 & 0 & 1 & \omega^1 \\ 0 & 0 & 1 & \omega^3 \end{bmatrix} \begin{bmatrix} 1 & 0 & \omega^0 & 0 \\ 0 & 1 & 0 & \omega^0 \\ 1 & 0 & \omega^2 & 0 \\ 0 & 1 & 0 & \omega^2 \end{bmatrix} \begin{bmatrix} x(0) \\ x(1) \\ x(2) \\ x(3) \end{bmatrix}$$

これを再帰的に行うと, 演算量を $O(n \log n)$ にできる(データ数 n は合成数である必要がある)

DFTとFFTの演算量の比較

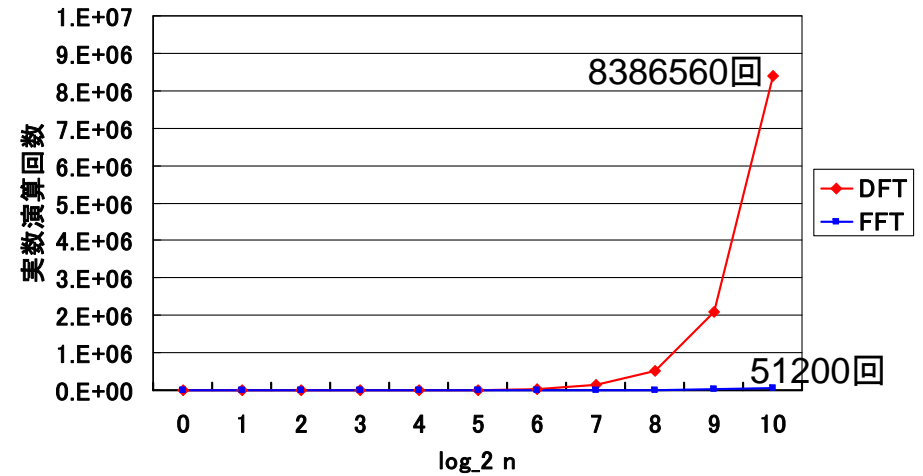
- DFTの実数演算回数

$$T_{DFT} = 8n^2 - 2n$$

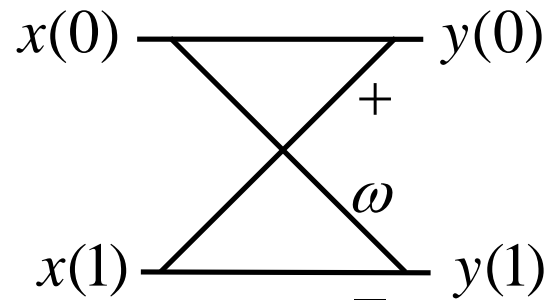
- FFTの実数演算回数
(n が2のべきの場合)

$$T_{FFT} = 5n \log_2 n$$

DFTとFFTの演算量の比較



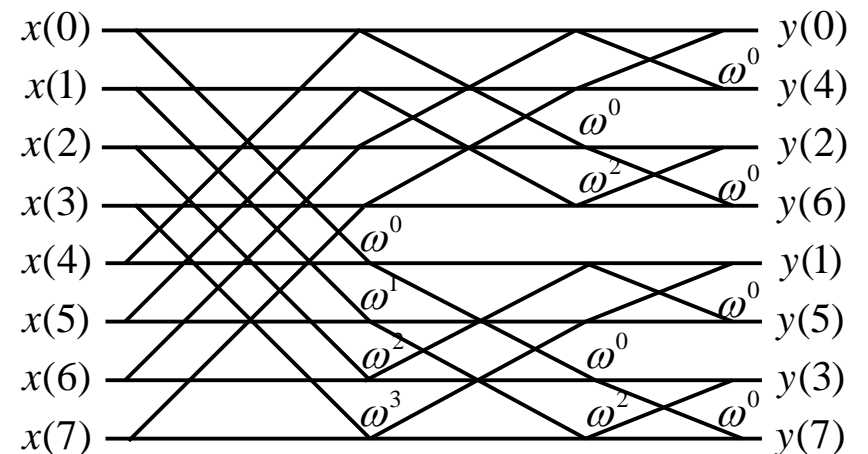
バタフライ演算



$$y(0) = x(0) + x(1)$$

$$y(1) = \omega \{x(0) - x(1)\}$$

Cooley-Tukey FFTの信号流れ図



FFTのカーネル部分の例

```

SUBROUTINE FFT2(A,B,W,M,L)
IMPLICIT REAL*8 (A-H,O-Z)
DIMENSION A(2,M,L,*),B(2,M,2,*),W(2,*)

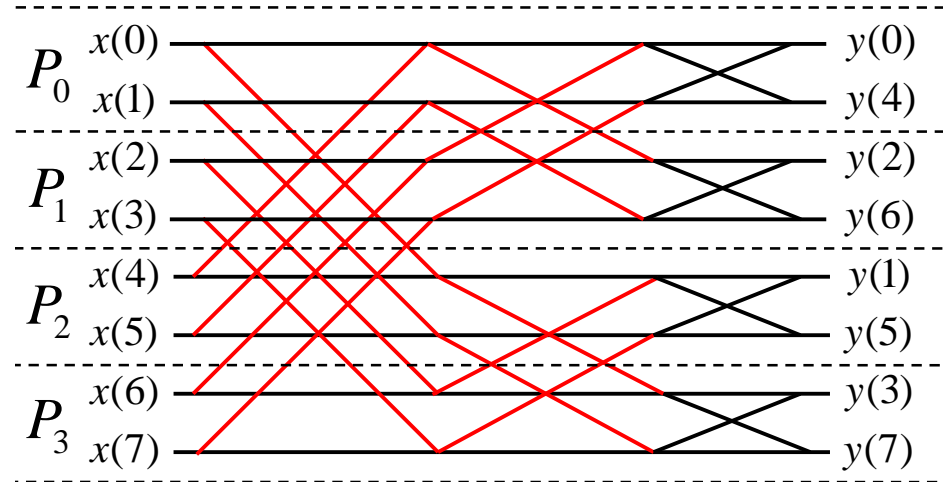
```

```

C
DO J=1,L
  WR=W(1,J)
  WI=W(2,J)
  DO I=1,M
    B(1,I,1,J)=A(1,I,J,1)+A(1,I,J,2)
    B(2,I,1,J)=A(2,I,J,1)+A(2,I,J,2)
    B(1,I,2,J)=WR*(A(1,I,J,1)-A(1,I,J,2))-WI*(A(2,I,J,1)-A(2,I,J,2))
    B(2,I,2,J)=WR*(A(2,I,J,1)-A(2,I,J,2))+WI*(A(1,I,J,1)-A(1,I,J,2))
  END DO
END DO
RETURN
END
2011/2/23

```

Cooley-Tukey FFTの並列化



並列Cooley-Tukey FFTの通信量

- ノード数を P とすると, 並列Cooley-Tukey FFT では, $\log_2 P$ ステージの通信が必要になる.
- 各ステージでは n/P 個の倍精度複素数データの通信 (MPI_Send, MPI_Recv) が行われるため, 合計の通信量は,

$$T_{Cooley-Tukey} = \frac{16n}{P} \log_2 P \text{ (バイト)}$$

$n = n_1 n_2$ に対するFFTアルゴリズム

- $n = n_1 n_2$ で与えられるとする.

$$j = j_1 + j_2 n_1 \quad j_1 = 0, 1, \dots, n_1 - 1 \quad j_2 = 0, 1, \dots, n_2 - 1$$

$$k = k_2 + k_1 n_2 \quad k_1 = 0, 1, \dots, n_1 - 1 \quad k_2 = 0, 1, \dots, n_2 - 1$$

- 上記の表現を用いると, DFTの定義式を以下のように書き換えることができる.

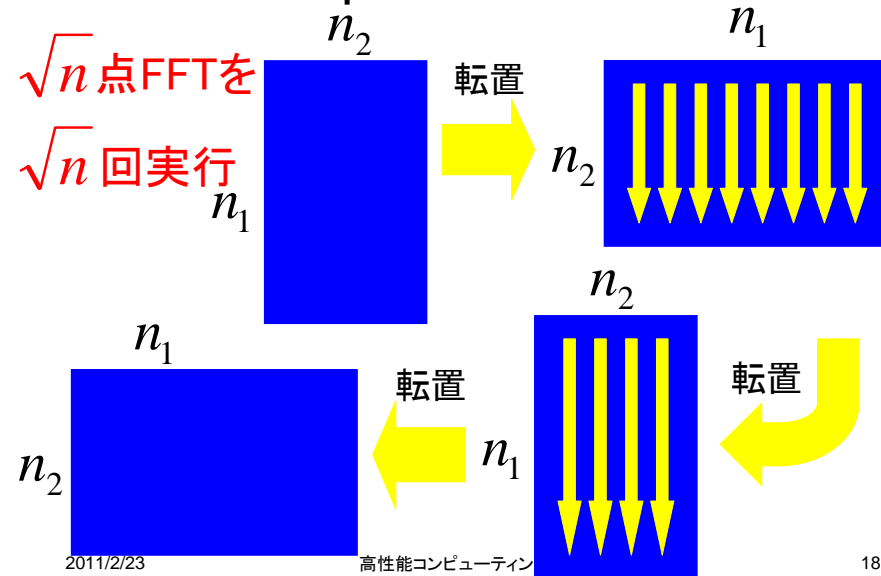
$$y(k_2, k_1) = \sum_{j_1=0}^{n_1-1} \left[\sum_{j_2=0}^{n_2-1} x(j_1, j_2) \omega_{n_2}^{j_2 k_2} \omega_{n_1 n_2}^{j_1 k_2} \right] \omega_{n_1}^{j_1 k_1}$$

- n 点FFTを n_1 点FFTと n_2 点FFTに分解している.

Six-Step FFTアルゴリズム

1. 行列の転置
2. n_1 組の n_2 点 multicolumn FFT
3. ひねり係数 ($\omega_{n_1 n_2}^{j_1 k_2}$) の乗算
4. 行列の転置
5. n_2 組の n_1 点 multicolumn FFT
6. 行列の転置

Six-Step FFTアルゴリズム



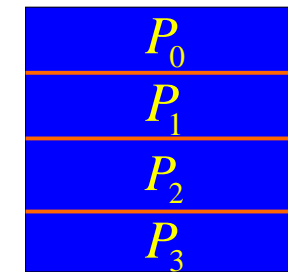
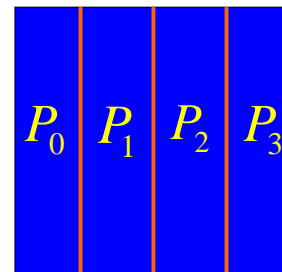
Six-Step FFTのプログラム例

```

SUBROUTINE FFT(A,B,W,N1,N2)
COMPLEX*16 A(*),B(*),W(*)
C
CALL TRANS(A,B,N1,N2)           N1 x N2行列をN2 x N1行列に転置
DO J=1,N1
  CALL FFT2(B((J-1)*N2+1),N2)   N1組のN2点multicolumn FFT
END DO
DO I=1,N1*N2
  B(I)=B(I)*W(I)                ひねり係数(W)の乗算
END DO
CALL TRANS(B,A,N2,N1)           N2 x N1行列をN1 x N2行列に転置
DO J=1,N2
  CALL FFT2(A((J-1)*N1+1),N1)   N2組のN1点multicolumn FFT
END DO
CALL TRANS(A,B,N1,N2)           N1 x N2行列をN2 x N1行列に転置
RETURN
END
    
```

配列の分割方法(1/4)

- MPIで並列化を行う際には、各ノードで配列を分割して持つようにすると、メモリを節約することができる。
- ブロック分割
 - 連続する領域をノード数で分割

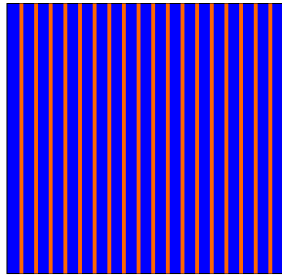


列方向に分割したブロック分割 行方向に分割したブロック分割

配列の分割方法 (2/4)

- サイクリック分割
 - 1列(または1行)ごとに分割
 - ブロック分割に比べてロードバランスが取りやすい

0123012301230123...

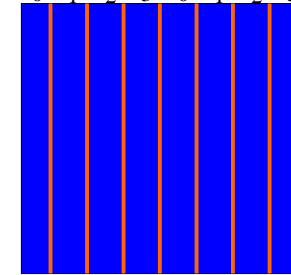


列方向に分割したサイクリック分割

配列の分割方法 (3/4)

- ブロックサイクリック分割
 - 複数列(または複数行)ごとに分割
 - ブロック分割とサイクリック分割の中間

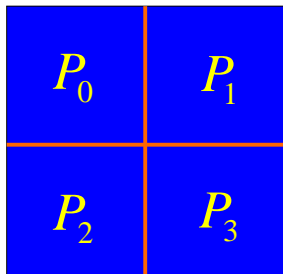
$P_0 P_1 P_2 P_3 P_0 P_1 P_2 P_3$



列方向に分割したブロックサイクリック分割

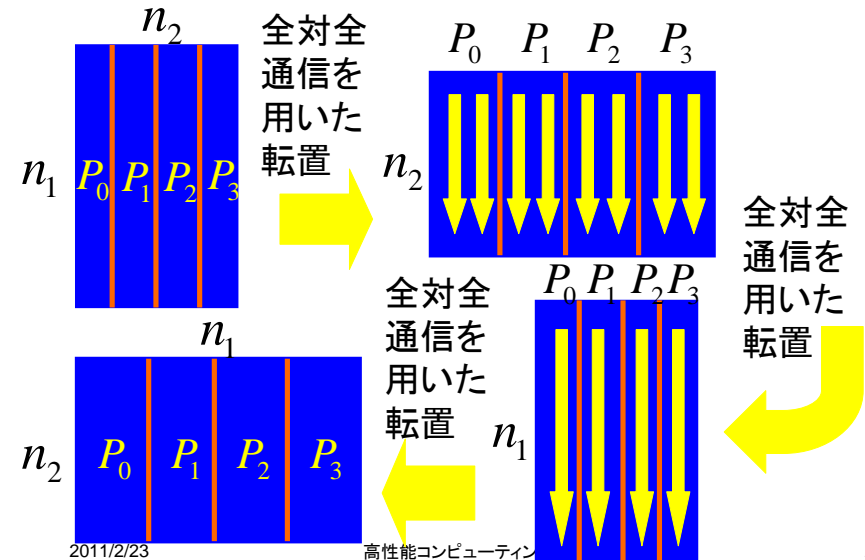
配列の分割方法 (4/4)

- 二次元分割
 - 行方向と列方向の両方を分割
 - 一次元分割よりも通信量が減ることがある
 - 二次元のブロック分割, サイクリック分割, ブロックサイクリック分割が考えられる.

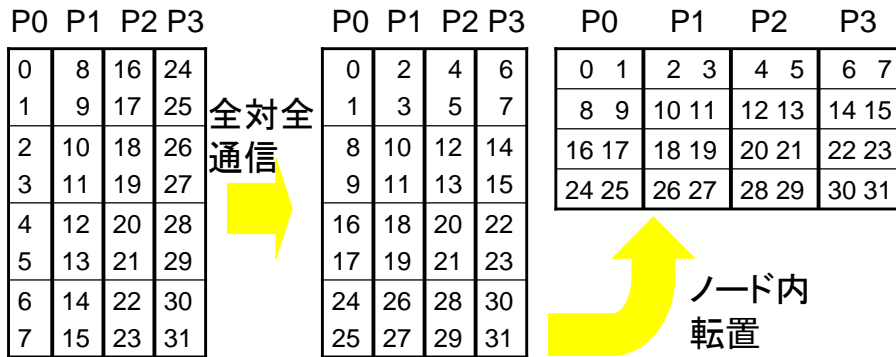


二次元ブロック分割

並列Six-Step FFTアルゴリズム



全対全通信 (MPI_Alltoall) を用いた 行列の転置



並列 Six-Step FFT のプログラム例

```

SUBROUTINE PARAFFT(A,B,W,N1,N2,NPU)
COMPLEX*16 A(*),B(*),W(*)
C
CALL PTRANS(A,B,N1,N2,NPU)           N1 x N2行列をN2 x N1行列に転置
DO J=1,N1/NPU                         (MPI_ALLTOALLを使用)
    CALL FFT2(B((J-1)*N2+1),N2)      (N1/NPU)組のN2点multicolumn FFT
END DO
DO I=1,(N1*N2)/NPU
    B(I)=B(I)*W(I)                   ひねり係数(W)の乗算
END DO
CALL PTRANS(B,A,N2,N1,NPU)           N2 x N1行列をN1 x N2行列に転置
DO J=1,N2/NPU                         (MPI_ALLTOALLを使用)
    CALL FFT2(A((J-1)*N1+1),N1)      (N2/NPU)組のN1点multicolumn FFT
END DO
CALL PTRANS(A,B,N1,N2,NPU)           N1 x N2行列をN2 x N1行列に転置
RETURN                                  (MPI_ALLTOALLを使用)
END
    
```

並列 Six-Step FFT の通信量

- ノード数を P とすると, 並列 Six-Step FFT では, 3回の全対全通信が必要になる.
- 全対全通信では, 各ノードは n/P^2 個の倍精度複素数データを, 自分以外の $P-1$ ノードに送ることになるため, 合計の通信量は

$$T_{Six-Step} = 3 \cdot (P-1) \cdot \frac{16n}{P^2} \text{ (バイト)}$$

並列 Cooley-Tukey FFT と 並列 Six-Step FFT の通信量の比較

- 並列 Cooley-Tukey FFT の通信量

$$T_{Cooley-Tukey} = \frac{16n}{P} \log_2 P$$

- 並列 Six-Step FFT の通信量

$$T_{Six-Step} = 3 \cdot (P-1) \cdot \frac{16n}{P^2}$$

- 両者を比較すると, $P > 8$ の場合には, 並列 Six-Step FFT の方が通信量が少なくなる.

Six-Step FFTの問題点

- Multicolumn FFTにおいて、 \sqrt{n} 点の各column FFTがキャッシュに載らない場合、性能が大きく劣化する。
- 分散メモリ型並列計算機で処理する大規模FFT (例えば、 2^{24} 点以上) では、高い性能を発揮できない。

三次元表現

- n が $n = n_1 n_2 n_3$ と分解されるとすると

$$y(k_3, k_2, k_1) = \sum_{j_1=0}^{n_1-1} \sum_{j_2=0}^{n_2-1} \sum_{j_3=0}^{n_3-1} x(j_1, j_2, j_3) \omega_{n_3}^{j_3 k_3}$$

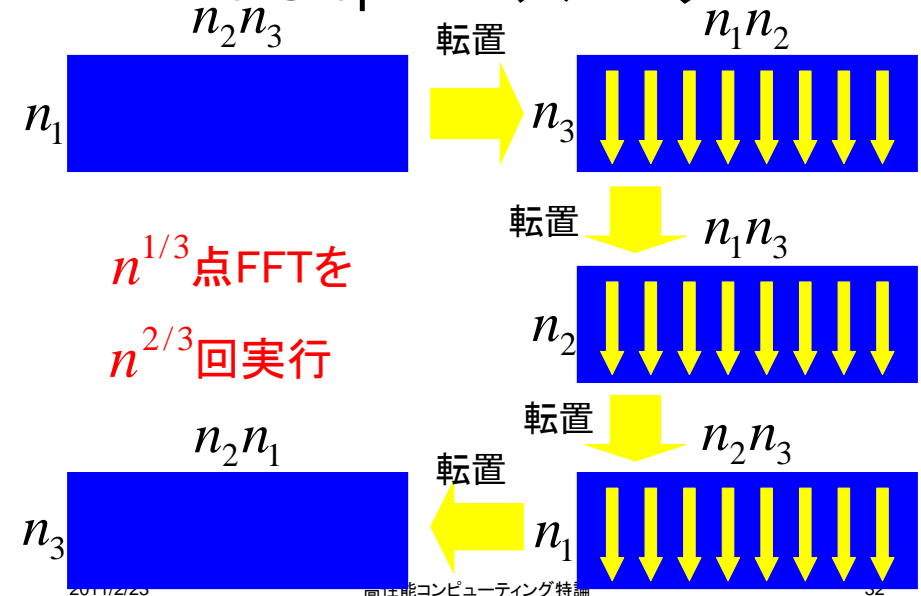
$$\omega_{n_2 n_3}^{j_2 k_3} \omega_{n_2}^{j_2 k_2} \omega_n^{j_1 k_2} \omega_{n_1 n_2}^{j_1 k_2} \omega_{n_1}^{j_1 k_1}$$

$n^{1/3}$ 点column FFTにして、キャッシュミス
を低減

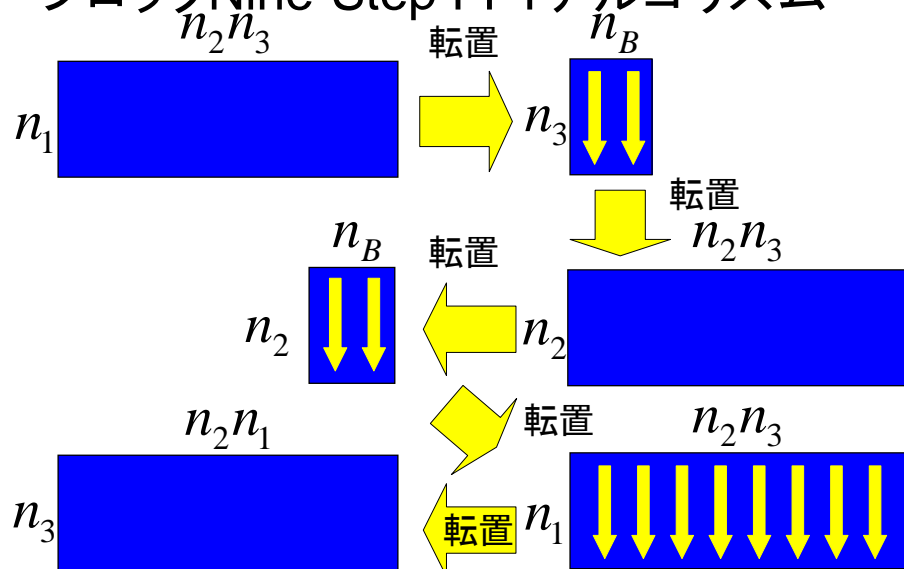
Nine-Step FFTアルゴリズム

1. 行列の転置
2. $n_1 n_2$ 組の n_3 点 multicolumn FFT
3. ひねり係数 ($\omega_{n_2 n_3}^{j_2 k_3}$) の乗算
4. 行列の転置
5. $n_1 n_3$ 組の n_2 点 multicolumn FFT
6. ひねり係数 ($\omega_n^{j_1 k_3} \omega_{n_1 n_2}^{j_1 k_2}$) の乗算
7. 行列の転置
8. $n_2 n_3$ 組の n_1 点 multicolumn FFT
9. 転置

Nine-Step FFTアルゴリズム



ブロックNine-Step FFTアルゴリズム



2011/2/23

高性能コンピューティング特論

33

In-Cache FFTアルゴリズム

- Multicolumn FFTにおいて、各column FFTがキャッシュに載る場合のin-cache FFTとして、
 - Cooley-Tukeyアルゴリズム(ビットリバース処理が必要)
 - Stockhamアルゴリズム(ビットリバース処理は不要)
 が考えられる。
- 高い基数のFFTを積極的に用いることにより、メモリアクセス回数を減らす。
 - 基数4, 8のFFTを組み合わせて使用。
 - 基数8よりもメモリアクセス回数の多い、基数4のFFTを最大2ステップに抑えることにより、さらにメモリアクセスを減らす。

2011/2/23

高性能コンピューティング特論

34

最内側ループにおけるロード+ストア, 乗算および加算回数

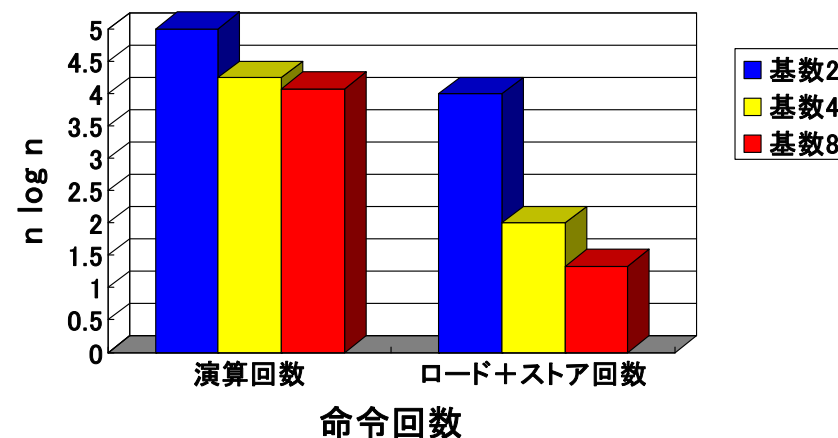
	基数2	基数4	基数8
ロード+ストア回数	8	16	32
乗算回数	4	12	32
加算回数	6	22	66
総浮動小数点演算回数 ($n \log_2 n$)	5	4.25	4.083
浮動小数点演算命令数	10	34	98
浮動小数点演算命令数と ロード+ストア回数の比	1.25	2.125	3.063

2011/2/23

高性能コンピューティング特論

35

FFTカーネルを用いた場合のn点FFTの必要演算回数



2011/2/23

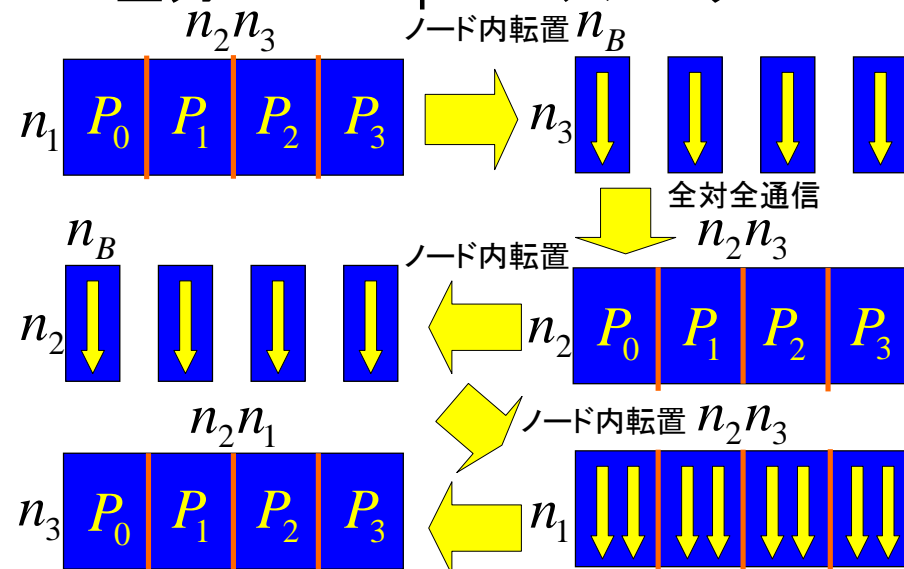
高性能コンピューティング特論

36

Nine-Step FFTのブロック化

- 行列の転置で用いられているキャッシュ内のデータをmulticolumn FFTでも活用し、キャッシュ内のデータの再利用性を高くする.
- 主記憶からキャッシュにいったんロードしたデータは、できるだけキャッシュに載っているようにする.
- キャッシュ内のデータは再利用できるだけ再利用し、本当にいらなくなった時点で主記憶に書き戻す.

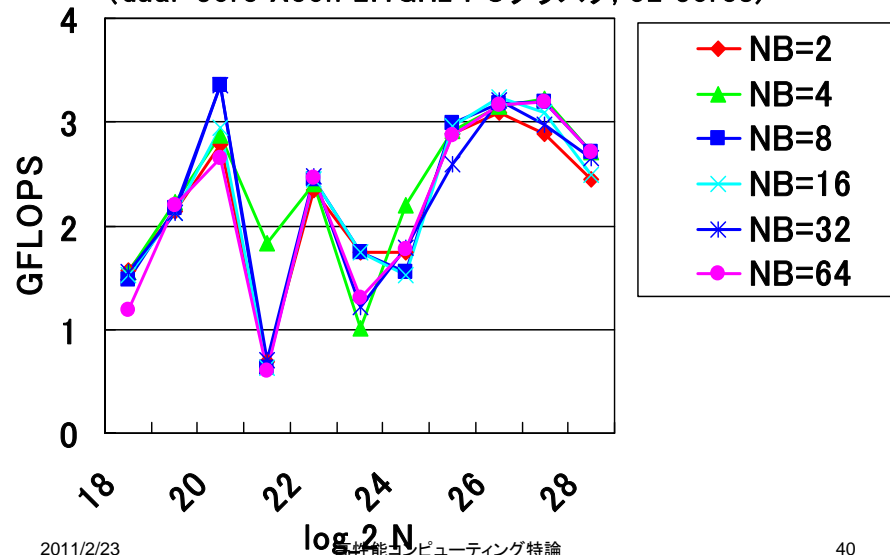
並列Nine-Step FFTアルゴリズム

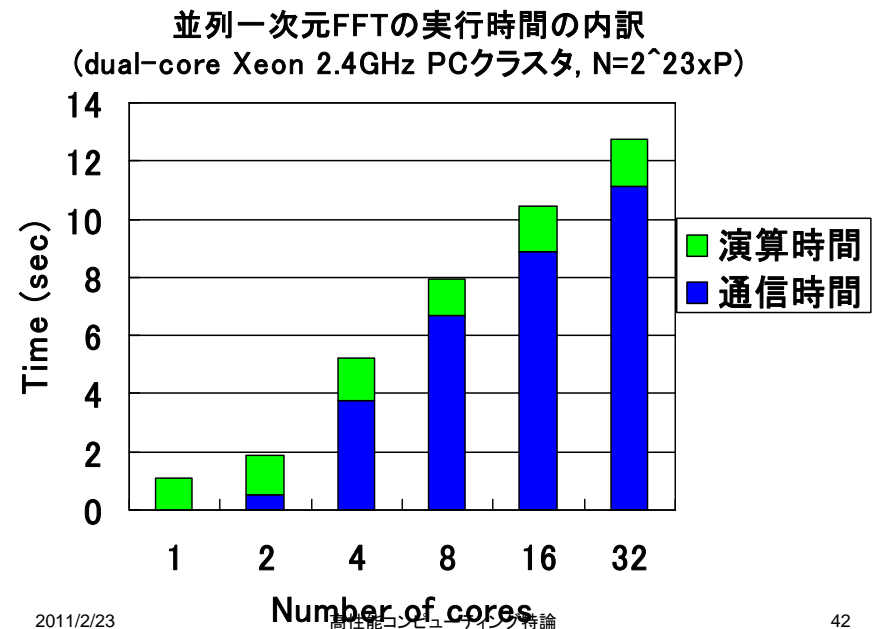
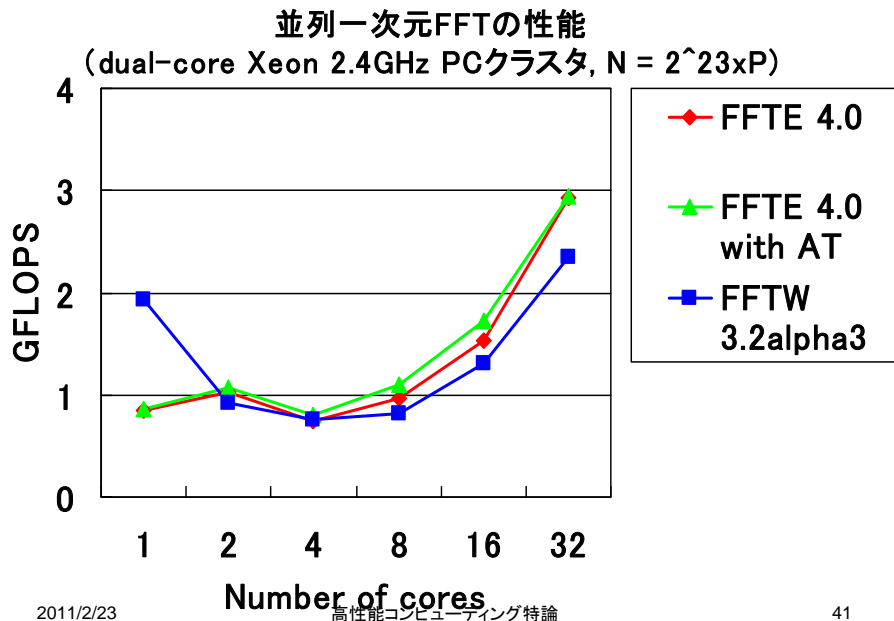


ブロックNine-Step FFTの利点

- Stockham FFT等の通常のFFTアルゴリズムでは,
 - 演算回数: $5n \log_2 n$
 - 主記憶アクセス回数: $4n \log_2 n$
- ブロックNine-Step FFTでは,
 - 演算回数: $5n \log_2 n$
 - 主記憶アクセス回数: 理想的には $12n$
- Nine-Step FFTの部分で $n^{1/3}$ 点FFTにブロック化を行っていることから, 提案するブロックNine-Step FFTは, 「二重ブロック化」アルゴリズムといえる.

並列Nine-Step FFTにおけるブロックサイズ依存性
(dual-core Xeon 2.4GHz PCクラスター, 32 cores)





並列FFTライブラリの例

- 商用の並列数値計算ライブラリ
 - Intel Cluster MKL (Math Kernel Library)
 - OpenMP版とMPI版が利用可能
 - AMD ACML (AMD Core Math Library)
 - OpenMP版が利用可能
- オープンソースの並列FFTライブラリ
 - FFTW (<http://www.fftw.org>)
 - OpenMP版とMPI版が利用可能
 - FFTE (<http://www.ffte.jp>)
 - OpenMP版, MPI版とOpenMP+MPI版が利用可能

まとめ

- 並列数値計算アルゴリズムとして, FFT(高速フーリエ変換)を取り上げた.
- 問題の領域をどのように分割するかが鍵となる.
 - ブロック分割, サイクリック分割, ブロックサイクリック分割
- 並列FFTでは通信部分はAll-to-All通信が中心となるので, 並列化は比較的容易.
- 通信量を削減するだけでなく, ブロック化等を用いたメモリアクセスの局所化も重要となる.